

پایش اورانیوم (VI) در نمونه‌های آبی پس از پیش تغليظ با سيليکاي نانومتخلخل اصلاح شده و واکنش رنگي با Br-PADAP

حسين شهرابي فراهاني^۱، مصطفى نجفي^{۲*}، محمد بهبهاني^۳

۱. دانشجوی کارشناسی ارشد، ۲. دانشیار دانشگاه جامع امام حسین (ع)، ۳. دکتری شیمی تجزیه دانشگاه شهید بهشتی، دانشکده شیمی
(دریافت: ۹۲/۱۲/۰۴؛ پذیرش: ۹۳/۰۴/۰۴)

چکیده

در این مقاله یک روش جدید برای آشکارسازی چشمی مقادیر بسیار کم اورانیوم (VI) در نمونه‌های آبی معرفی شده است. این روش شامل دو مرحله پیش تغليظ اورانیوم با استفاده از یک سيليکاي نانومتخلخل اصلاح شده با گروه آمين و سپس شناسایی آن به وسیله کمپلکس رنگی حاصل از واکنش معرف رنگزای -۵-برمو-۲-پیریدیل آزو-۵-دی اتیل آمینوفنول (Br-PADAP) است. عوامل مؤثر بر پیش تغليظ و تشکيل کمپلکس رنگی اورانیوم (VI) بررسی و بهینه شدند. اثر برخی یون‌های فلزی مزاحم مانند یون‌های مس (II)، آهن (II)، روی (II)، نیکل (II)، سرب (II)، توریوم (IV) و کادمیوم (II) با غلظت ۵۰ ppm نشان داد در این غلظت هیچ کدام از یون‌ها (به جز یون مس) مزاحمتی برای انجام روش ندارند. حد تشخیص این روش در حدود ۰.۰۲ ppm به دست آمد. این غلظت برای توسعه یک روش آشکارسازی چشمی به صورت کیت آشکارساز میدانی بسیار مطلوب است. با این روش آشکارسازی مقادیر بسیار کم اورانیوم (VI) در نمونه‌های آب شهر، آب دریا و آب چاه با موفقیت انجام شد.

کلید واژه‌ها: اورانیوم (VI)، سيليکاي نانومتخلخل، Br-PADAP، آشکارسازی.

Monitoring of Uranium (VI) in Water Samples after Preconcentration with Modified Nanoporous Silica and Color Reaction by Br-PADAP

H. Shahrbabi Farahani, M. Najafi*, M. Behbahani
Imam Hossein University

Abstract

In this work, a novel method for trace detection of uranium (VI) in water samples is introduced. The method involves two-steps: selective preconcentration of uranium (VI) using amine functionalized nanoporous silica and reaction of uranium (VI) with 2-(5-bromo-2-pyridylazo)-5-diethylaminophenol (Br-PADAP) to reach a colorful complex. The effect of various parameters on preconcentration and formation of uranium (VI) complex were studied and optimized. The effect of some metal ions interferences such as Cu (II), Fe (II), Zn (II), Ni (II), Pb (II), Th (IV) and Cd (II) with the concentrations of 50 ppm reveal that these ions (except for Cu(II)), does not have any interference in this method. The detection limit of the method was obtained as 0.02 ppm. This concentration is appropriate for developing the eye sensing technique for trace detection of uranium (VI) ions. The method was successfully applied for trace detection of uranium (VI) in tap, sea and well water samples.

Keywords: Uranium (VI), Nanoporous Silica, Br-PADAP, Detection.

* Corresponding Author Email: mnajafi@ihu.ac.ir

Advanced Defence Sci. & Tech., 2014, 5, 71-79

۱. مقدمه

عنصر اورانیوم به چهار طریق برای انسان مخاطره انگیز است:

- به عنوان فلز سنگین سمی

- به عنوان یک ماده شیمیایی سرطانزا

- به عنوان یک مختل کننده غدد درون ریز و

- به عنوان یک ماده رادیواکتیو سرطانزا

با توجه به یکسان بودن سه مورد اول از چهار مخاطره فوق برای اورانیوم طبیعی (U) و اورانیوم تهی شده (DU)، اثرات آنها بر روی انسان بسیار به یکدیگر شبیه است به جز اینکه اورانیوم تهی شده حدود ۷۵ درصد از رادیواکتیویته اورانیوم طبیعی را دارد. DU محصول فرعی تولید اورانیوم غنی شده برای تسليحات هسته‌ای است که به صورت مستمر به وسیله نیروهای نظامی اروپا و آمریکا در جنگ‌های اخیر در خاورمیانه و منطقه بالکان مورد استفاده قرار گرفته است. گزارش‌های زیادی از آسیب‌های جدی به نظامیان و غیرنظامیان در این جنگ‌ها وجود دارد که ناشی از اثرات این تسليحات می‌باشد [۱]. به علت پرتوزایی و نفوذ کم پرتوهای آلفا، خطر حادی نسبت به پرتوگیری خارجی برای DU وجود ندارد. خطر عمدۀ وقتی ایجاد می‌شود که این مهمات به هدف برخورد نموده و غبار DU به وجود آید. با ته نشست ذرات آئروسل بر روی زمین یا آب‌های سطحی، آلودگی محیطی به وجود می‌آید. این آلودگی می‌تواند تحت شرایط جوی مانند باد و باران به مناطق دیگر نیز سرایت کند [۲]. در صورتی که افراد از طریق هوا، آب و غذا در معرض غبار DU قرار گیرند، این ماده در بدن خیلی سریع جذب شش‌ها و روده می‌شود. همچنین بخشی از آن از طریق جریان خون در بافت‌ها به ویژه کلیه‌ها و استخوان‌ها رسوب می‌کند. اورانیوم، باعث مسمومیت و اختلال در فعالیت کلیه‌ها، سیستم قلبی عروقی، کبد، سیستم‌های عضلانی و عصبی شده و به DNA نیز آسیب می‌رساند [۳].

برای جلوگیری از اثرات بسیار مخرب آلودگی‌های ناشی از این تسليحات که به صورت گرد و غبار، محلول در آب و مخلوط با خاک منطقه مورد اصابت باقی می‌ماند، باید به سرعت از قرارگیری نیروها در معرض تجهیزات، آب و خاک آلوده به این مواد رادیواکتیو جلوگیری شود. گام اول در این اقدام پدافندی، پایش و آشکارسازی به موقع آلودگی DU می‌باشد. با شناسایی و آشکارسازی سریع می‌توان از انتقال و استقرار یگان‌های رزمی به منطقه آلوده جلوگیری کرد و در صورت لزوم از تجهیزات حفاظت و ایمنی مناسب استفاده نمود.

بر این اساس تاکنون روش‌های شیمیایی و فیزیکی متعددی برای ردیابی و اندازه‌گیری اورانیوم (VI) در محیط‌های مختلف آب، خاک، گیاهان و محیط‌های بیولوژیک معرفی شده و مورد استفاده قرار گرفته است. بعضی از این روش‌ها عبارتند از: طیف سنج جرمی

جفت شده القایی (ICP-MS) [۴]، روش تجزیه با فعال‌سازی نوترون [۵ و ۶]، طیف سنجی آلفا [۷] و تجزیه فسفرسانس سینتیکی [۸ و ۹]. وجه مشترک همه این روش‌ها نیاز به مراحل پیچیده و سخت تهیه نمونه و به کارگیری تجهیزات حساس و آزمایشگاهی برای آنالیز می‌باشد.

یافتن روشی مناسب با سرعت و صحت بالا، عدم نیاز به مراحل زمان‌بر و پیچیده تهیه نمونه، عدم نیاز به تجهیزات دستگاهی پرهزینه و با قابلیت استفاده میدانی برای اندازه‌گیری مقادیر بسیار کم اورانیوم (VI) در آب و غبارات موجود در محیط یکی از نیازهای دفاعی نیروهای مسلح است. برای آزمایش سریع نمونه‌ها به ویژه در آنالیزهای میدانی، روش‌های آشکارسازی رنگ سنجی از جمله روش‌هایی هستند که می‌توانند بیشتر از سایر روش‌ها مورد استفاده قرار گیرند. در سال‌های اخیر حسگرهای نوری برای آشکارسازی و تعیین یون اورانیوم (VI) توسعه داده شده‌اند [۱۰-۱۴] ولی به دلیل استفاده از سامانه طیف نور سنج وجود مزاحمت برخی کاتیون‌ها همچنان مناسب کاربردهای میدانی نیستند.

یکی از مواردی که می‌تواند در بهبود حد تشخیص روش‌های آشکارسازی رنگ سنجی برای کاربردهای میدانی مؤثر باشد استفاده از روش‌های ساده پیش تغییل است [۱۵]. بنابراین برای پایش یون‌های اورانیوم در محیط باید ابتدا عمل استخراج و پیش تغییل انجام شود که در بین روش‌های پیش تغییل، استخراج فاز جامد به دلیل ویژگی‌های منحصر به فردش بسیار مورد توجه قرار گرفته است [۱۶ و ۱۷].

باتوجه به خصوصیات مناسب مواد مزوپروس از قبیل: وجود حفرات ۲ تا ۱۰ نانومتری، نسبت سطح به حجم بسیار بالا (حدود ۱۰۰۰ متر مربع در هر گرم)، نفوذپذیری یا تراوایی زیاد و گزینش‌پذیری شکل و اندازه خوب [۱۸ و ۱۹] این ترکیبات می‌توانند به عنوان گزینه مناسب برای پیش تغییل مورد استفاده قرار گیرند.

در این پژوهش با هدف توسعه روش رنگ سنجی برای آشکارسازی مقادیر بسیار کم اورانیوم در آب بدون استفاده از سامانه‌های آزمایشگاهی مرسوم و فقط با مشاهده چشمی تغییر رنگ از یک نوع سلیکای نانومتلخخل عامل دارشده به عنوان جاذب جامد برای پیش تغییل اورانیوم استفاده شد. همچنین از معروف رنگی Br-PADAP (شكل ۱) که قدرت رنگ‌زایی و پایداری بیشتر و بهتری نسبت به سایر معرفه‌های رنگ‌زا از قبیل آرسنزاو III، تیوسیانات^۲، دی بنزوئیل متان^۳ و ملوکسیکام^۴ دارد [۲۰]، برای تشكیل کمپلکس رنگی با اورانیوم (VI) استفاده گردید. نتایج نشان داد که استفاده از سلیکای نانومتلخخل عامل دار شده به عنوان جاذب، زمان پاسخ سریع و حد تشخیص بسیار مناسبی را برای پایش چشمی اورانیوم به همراه دارد.

²ArsenazoIII

³Thiocyanat

⁴Dibenzoylmethane

⁵Meloxicam

¹ Depleted Uranium

مخلوط ایجاد شده برای مدت زمان ۱ ساعت هم زد شد. سپس ۲ گرم از ۳-آمینو پروپیل تری اتوکسی سیلان به مخلوط اضافه و برای مدت زمان ۱۲ ساعت رفلaks شد. بعد از مدت زمان یاد شده پودر تهیه شده صاف و به ترتیب با تولوئن و استون شستشو داده شد و سپس پودر خشک و برای مراحل بعد مورد استفاده قرار گرفت.

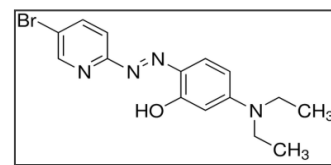
آنالیز سیلیکای نانو متخلخل عاملدار: جهت شناسایی ماده سنتزی از دستگاه‌های میکروسکوپ‌الکترونی عبوری مدل Philips CM200، دستگاه اسپکتروفوتومتر FTIR پرکین المر 100، دستگاه آنالیز حرارتی مدل STA503، دستگاه پراش اشعه ایکس مدل STOE X-Ray Diffractometer استفاده شد.

روش استخراج و پیش تغليظ: پس از سنتز سیلیکای نانو متخلخل، مقادیر مشخصی سیلیکا به ۲۵ میلی لیتر محلول‌های اورانیوم (VI) با غلظت‌های مختلف و محلول شاهد در محیط‌های با pH مختلف اضافه شد. پس از همزدن، صاف کردن و خشک کردن پودرهای، با افزودن ۵۰ میکرولیتر معرف رنگاری Br-PADAP، کارایی این روش برای جداسازی و پیش تغليظ یون اورانیوم (VI) در نمونه‌های آبی بررسی شد. در این بخش شرایط مختلفی از قبیل مقدار سیلیکا، pH محیط جذب، زمان جذب یا تماس، غلظت یون اورانیوم (VI)، نوع استخراج (از محلول و ستونی) و گزینش‌پذیری در مجاورت کاتیون‌های مزاحم مورد آزمایش قرار گرفت.

آشکارسازی اورانیوم (VI) با معرف رنگی: از بین معرف‌های رنگاری مورد استفاده در روش‌های رنگ سنجی، معرف Br-PADAP که نسبت به معرف‌های دیگر دارای مزیت بیشتر از جمله حد تشخیص بسیار پایین و تأثیرپذیری کم در مقابل یون‌های مزاحم موجود در محیط است [۱۰ و ۲۰]، انتخاب شده و از مشاهده تعییر رنگ ایجاد شده بین معرف Br-PADAP و یون‌های اورانیوم (VI)، کارایی مرحله پیش تغليظ و سپس آشکارسازی آن‌ها مورد بررسی قرار گرفت.

محلول Br-PADAP دارای رنگ زرد متمایل به نارنجی با طول موج بیشینه جذب ۴۴۰ nm می‌باشد. پس از واکنش این ترکیب با یون‌های فلزی، کمپلکسی تشکیل می‌شود که دارای رنگ ارغوانی (در غلظت‌های بالا بنفش) و طول موج بیشینه جذب ۵۷۸nm است. تعییر رنگ به نحوی است که تمایز تعییر رنگ بهوضوح با چشم قابل تشخیص است.

برای دستیابی به بهترین شرایط تعییر رنگ، عواملی از قبیل pH محیط برای تشکیل کمپلکس، حجم، نوع و غلظت بافر، حجم و غلظت معرف رنگزا و زمان تشکیل کمپلکس (ایجاد رنگ قبل مشاهده با چشم) مورد بررسی قرار گرفتند و مقادیر مناسب هر کدام تعیین شد.



شکل ۱. ساختار [۱۰] Br-PADAP

۲. بخش تجربی

۱-۲. مواد

-۵-برمو-۲-پیریدیل آزو-۵-دی اتیل آمینوفنول (Br-PADAP)، اتانول، اورانیل استات، سدیم هیدروکساید، استیک اسید، پرکلریک اسید، نیتریک اسید٪ ۲۵، سولفات مس، کلرید کادمیوم، نیترات سرب، نیترات نیکل، نیترات توریم، کلرید آهن II و استات روی، مونو سدیم فسفات، دی سدیم فسفات، تری اتانول آمین همگی از شرکت MERCK آلمان تهیه شدند. -۳-آمینو پروپیل تری اتوکسی سیلان از شرکت Sigma-Aldrich تهیه شد. آب م قطره (دیونیزه) برای رقیق‌سازی و تهیه محلول‌ها استفاده شد.

۲-۲- تهیه محلول‌ها

برای تهیه محلول ۱۰۰ ppm اورانیل استات، مقدار ۰/۰۱۸ گرم از نمک اورانیل استات دی هیدراته $\text{UO}_2(\text{CH}_3\text{COO})_2 \cdot 2\text{H}_2\text{O}$ درون ۱۰۰ میلی لیتر آب م قطره حل شد.

برای تهیه محلول ۱۰۰ مولار برم پاداپ، مقدار ۰/۰۰۸۷ گرم از پودر برم پاداپ ($\text{C}_{15}\text{H}_{17}\text{BrN}_4\text{O}$)، را در اتانول خالص حل نموده و به حجم ۲۵ میلی لیتر رسانده شد. محلول ۱۰۰۰ مولار، با رقیق‌سازی ۲/۵ میلی لیتر از آن با اتانول در حجم ۲۵ میلی لیتر تهیه گردید.

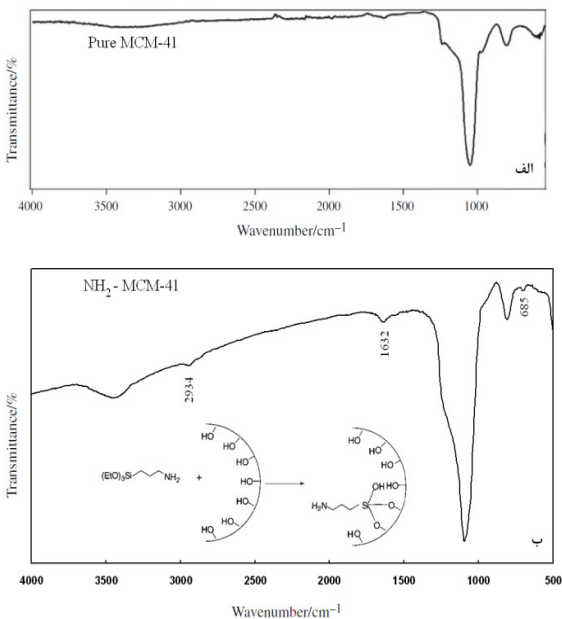
برای تهیه بافر تری اتانول آمین یک مولار، ۳/۳ میلی لیتر از اسید نیتریک ۷۵ درصد را به ۱۰۰ میلی لیتر آب م قطره افزوده و به ۱۴/۹۲ گرم (۱۲ میلی لیتر) تری اتانول آمین همراه با همزدن برای انحلال کامل به آن اضافه شد.

برای تهیه ۱۰۰ میلی لیتر بافر استات سدیم ۰/۳ مولار و pH برابر ۴، مقدار ۱/۷۹ میلی لیتر اسید استیک را با آب م قطره به حجم حدود ۸۰ میلی لیتر رسانده و قطره قطره محلول سود به آن افزوده تا زمانی که pH محلول به ۴ برسد. در آخر حجم محلول به ۱۰۰ میلی لیتر رسانده شد.

۲-۲. روش کار

سنتز MCM-41 عاملدار: مطابق روش زیر تهیه شد [۲۱]. سپس ماده نانومتخلخل MCM-41، با استفاده از روش پیشنهادی توسط جانسون و همکارانش [۲۲] به وسیله گروه‌های آمین اصلاح شد. بدین منظور میزان ۱ گرم از ماده نانومتخلخل MCM-41 در ۵۰ میلی لیتر تولوئن به صورت سوسپانسیون درآمد و

اسپکتروسکوپی FT-IR برای مطالعه ساختاری و اثبات عامل دار شدن سطح سیلیکا انجام گرفت. شکل (۴-الف) طیف FT-IR NH₂-MCM-41 (شکل ۲۳) و شکل (۴-ب) طیف NH₂-MCM-41 را نشان می‌دهد. با مقایسه این دو طیف مشاهده می‌شود برای نمونه‌های اصلاح شده با گروه‌های آمین دو پیک جدید در ۱۶۳۲ cm⁻¹ و ۶۸۵ کشش نامتناهن C-N می‌باشند، ظاهر شده‌اند [۲۴]. این دو پیک مربوط به اتصال گروه NH_2 به اتصال $\text{Si}-(\text{CH}_2)_3-\text{NH}_2$ بعد از اصلاح می‌باشند.



شکل ۴. تصویر اسپکتروسکوپی FT-IR سیلیکای نانومتلخلخل (الف) MCM-41 و (ب) NH₂-MCM-41

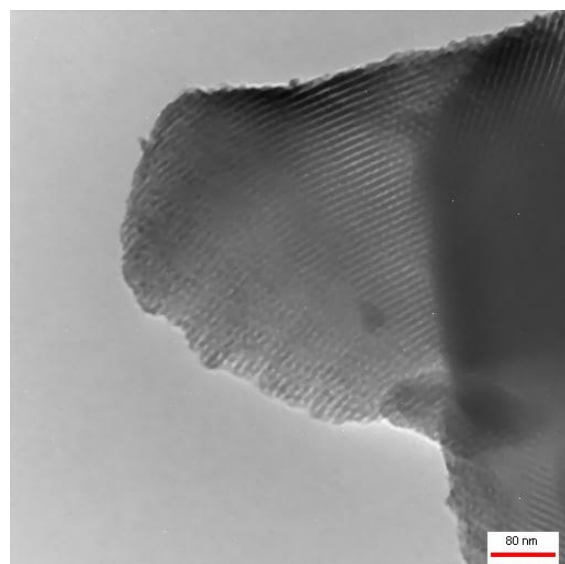
علاوه بر این در MCM-41 عامل دار شده با گروه‌های آمین، ارتعاش کششی مربوط به گروه CH_2 در ۲۹۳۴ cm⁻¹ و گروه‌های زنجیر پروپیل متصل به Si دارا می‌باشد. این ترکیب در حالت آزاد دارای ارتعاش ۲۸۵۲ cm⁻¹ است [۲۵] که به دلیل متصل شدن به MCM-41 در طیف IR مشاهده نمی‌شود و دلیل مشخصی برای عامل دار شدن MCM-41 می‌باشد.

برای بررسی پایداری حرارتی این جاذب و همچنین تعیین میزان گروه عاملی آمین تشییت شده روی آن، آنالیز حرارتی ترکیب انجام شد. بر طبق این آنالیز (شکل ۵) حدود ۲۰٪ کاهش وزن مشاهده شده مربوط به اصلاح سیلیکای نانومتلخلخل با گروه‌های آمین می‌باشد که این کاهش وزن معادل $3/3 \text{ mmol}^{-1} \text{ g}$ از جاذب سنتز شده است.

۳. نتایج و بحث

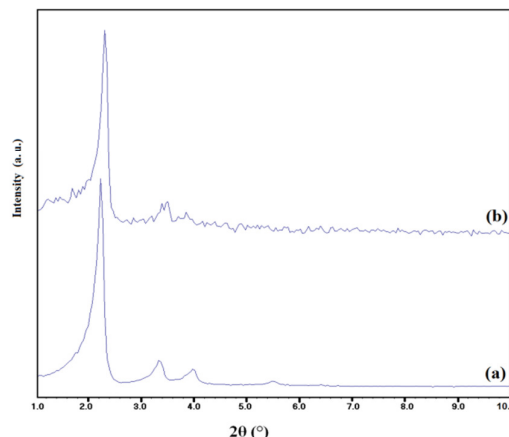
۳-۱. مشخصه‌یابی MCM-41 عامل دار

شکل (۲) تصویر میکروسکوپ الکترونی عبوری مزوپروس سیلیکاتی نوع MCM-41 عامل دار را نشان می‌دهد. در این شکل حفرات با اندازه تخلخل زیر ۱۰ نانومتر که اثبات کننده نانومتلخلخل بودن ساختار است قابل مشاهده می‌باشد.



شکل ۲. تصویر TEM سیلیکای نانومتلخلخل عامل دار شده با آمین

پراش اشعه ایکس این ترکیب هم نشان داد که ساختار نانوحفره‌ها حفظ شده است (شکل ۳). همچنین با مقایسه با ترکیب اولیه گزارش شده و از روی جایه‌جایی پیک می‌توان نتیجه گرفت که سطح داخلی حفره‌های این ترکیب با گروه‌های آمین عامل دار شده است ولی همچنان حفره باقی مانده‌اند.



شکل ۳. تصویر XRD سیلیکای نانومتلخلخل (a) و NH₂-MCM-41 (b)

به صورت تجربی مشخص شد یون‌های اورانیوم (VI) جذب سیلیکا نمی‌شود. بنابراین $pH=4$ برای جذب اورانیوم (VI) توسط سیلیکای نانوتخلخل انتخاب شد.

جدول ۱. اثر pH محیط بر میزان جذب اورانیوم (VI) (1 ppm) توسط سیلیکا

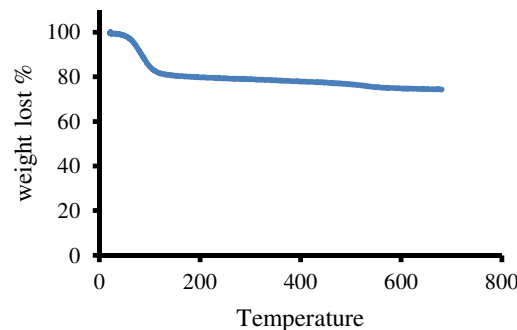
pH	۷	۴	۲	محیط
زرد				تغییر رنگ سیلیکا
ارگوانی				

زمان جذب یا **تماس**: میزان جذب یون اورانیوم (VI) با غلظت ۱ ppm به وسیله پودر سیلیکا در زمان‌های ۰، ۱، ۳ و ۵ دقیقه تماس و هم‌زدن پودر با محلول اورانیوم مورد بررسی قرار گرفت که تغییر رنگ سیلیکا به ارغوانی در نمونه‌های مربوط به ۳ و ۵ دقیقه زودتر از دو نمونه دیگر اتفاق افتاد. چون کاهش زمان در آشکارسازی از اهمیت بهسازی برخوردار است، بنابراین زمان بهینه برای جذب یا تماس سیلیکا با محلول اورانیوم (VI) ۳ دقیقه تعیین شد.

غلظت یون اورانیوم (VI): میزان استخراج اورانیوم (VI) به وسیله پودر سیلیکا به عنوان فاز جامد از محلول (پج) و استخراج ستونی در غلظت‌های مختلف یون اورانیوم (VI) (۰.۵، ۱۰، ۱۰۰ ppm) به ۰.۵/۰ مورد بررسی قرار گرفت. تصاویر تغییر رنگ ناشی از جذب اورانیوم (VI) و زمان آن‌ها در غلظت‌های مختلف سیلیکای نانوتخلخل عامل‌دار شده (جدول ۲) نشان می‌دهد که هرچه غلظت یون اورانیوم (VI) در محلول پس از اضافه کردن پورنگ‌تر بوده و زمان تغییر رنگ کوتاه‌تر خواهد بود. همچنین در غلظت‌های کمتر از ۰.۵ ppm به دلیل کاهش یون‌های اورانیوم (VI) و قرار گرفتن آن‌ها در عمق سیلیکا، برهم‌کنش Br-PADAP با یون‌ها به تأخیر افتاده و زمان تغییر رنگ به شدت کاهش می‌یابد. این نتایج نشان داد جذب و پیش تغییر یون‌های اورانیوم (VI) توسط سیلیکا به خوبی انجام می‌گیرد و مشکل تأخیر در زمان تغییر رنگ مربوط به آشکارسازی یون‌های اورانیوم (VI) می‌شود که برای رفع این مسئله در قسمت تشکیل کمپلکس رنگی و آشکارسازی یون‌های اورانیوم (VI) بحث و راهکارهای انجام شده معرفی می‌شود.

۴-۳. تأثیر عوامل مختلف در تشکیل کمپلکس رنگی با یون‌های اورانیوم (VI) موجود در جاذب Br-PADAP

pH محیط تشکیل کمپلکس: تشکیل کمپلکس Br-PADAP با اورانیوم (VI) و بررسی جذب در محلول واسته به pH محیط بوده و به طور معمول در pHهای قلیایی، واکنش مناسب اتفاق می‌افتد [۱۰ و ۱۳]. در آزمایش‌های قبل (غلظت‌های بالای ۵ ppm) استفاده از pH خنثی برای تغییر رنگ در زمان کمتر از ۳ دقیقه کافیت می‌کرد با این وجود برای غلظت‌های کمتر از ۵ ppm زمان تغییر



شکل ۵. تصویر TGA سیلیکای نانوتخلخل NH₂-MCM-41

۲-۳. بررسی عملکرد جاذب در جداسازی و پیش تغییر اورانیوم (VI)

برای ارزیابی اولیه عملکرد سیلیکای نانوتخلخل در جداسازی یون اورانیوم (VI) از یون‌های دیگر موجود در نمونه‌های آبی و همچنین پیش تغییر این یون برای دستیابی به حد تشخیص مطلوب، فرایند استخراج و پیش تغییر به روش شرح داده در بند ۳-۲-۲ برای نمونه محلول حاوی ۵ ppm اورانیوم (VI) و نمونه شاهد انجام شد و پس از خشک کردن پودر جاذب تحت تأثیر محلول Br-PADAP قرار داده شد. نتایج به دست آمده در شکل (۶) نشان داده شده است. همان‌گونه که مشاهده می‌گردد رنگ پودرهای سیلیکای حاصل از استخراج محلول حاوی اورانیوم (VI) و محلول شاهد به ترتیب ارغوانی و زرد شدند. با مقایسه تغییر رنگ دو نمونه مشخص شد سیلیکا به خوبی یون‌های اورانیوم (VI) را پیش تغییر کرده است.



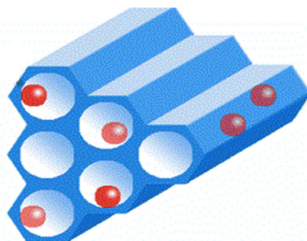
شکل ۶. تغییر رنگ سیلیکا در حضور (الف) و عدم حضور (ب) اورانیوم

۳-۳. اثر عوامل مختلف بر جداسازی و پیش تغییر اورانیوم (VI)

pH محیط جذب: میزان جذب یون اورانیوم (VI) با غلظت ۱ ppm به وسیله پودر سیلیکا در pHهای ۲، ۴ و ۷ مورد بررسی قرار گرفت. همان‌گونه که در جدول (۱) نشان داده شده است، تنها در pH=۴ رنگ ارغوانی که نشان‌دهنده حضور اورانیوم (VI) ناشی از پیش تغییر توسط جاذب می‌باشد، مشاهده می‌شود. در pH=۲ گروه‌های عاملی NH_2^- - با پروتون‌های موجود در محلول واکنش داده و مانع جذب اورانیوم (VI) می‌شود. به همین منظور برای واجدب یون‌های اورانیوم (VI) می‌توان از تغییر شرایط pH استفاده کرد. در pH=۷

۲۵ میکرولیتر سبب تغییر رنگ ناقص شده و حجم ۱۰۰ میکرولیتر نیز در بعضی نمونه ها خطای مثبت ایجاد می نماید. بنابراین حجم و غلظت بهینه برای معرف رنگزای Br-PADAP به ترتیب ۵۰ میکرولیتر و 10^{-4} مولار به دست آمد.

زمان و رنگ تشکیل کمپلکس: تغییر رنگ ناشی از تشکیل کمپلکس Br و اورانیوم (VI) در محلول به سرعت اتفاق می افتد اما در بستر سیلیکا به دلیل قرار گرفتن یون ها در داخل نانوحفره ها (شکل ۷) تغییر رنگ بستگی به غلظت اورانیوم (VI) درون نانوحفره ها دارد. به بیان دیگر در غلظت های بالاتر از ۵ ppm یون های بیشتری در معرض معرف قرار می گیرند و بنابراین تغییر رنگ سیلیکا به ارغوانی در کمتر از ۳ دقیقه انجام می گیرد. افزایش زمان تغییر رنگ با کاهش غلظت اورانیوم (VI) در غلظت های کمتر از ۵ ppm می تواند به دلیل قرار گیری یون ها درون حفره و کند بودن سینتیک آزادسازی باشد، در واقع یون های اورانیوم (VI) با سرعت کمتری در معرض معرف قرار گرفته و تغییر رنگ در زمان طولانی تری اتفاق می افتد.



شکل ۷. قرار گیری یون های اورانیوم در داخل حفره های عمیق سیلیکا

برای کاهش زمان تغییر رنگ می توان ابتدا واجذب یون ها از سیلیکا نانو متخلخل را با استفاده از حجم کمی از اسید کلریدریک یک مولار تسریع بخشید. سپس با استفاده از بافر تری اتانول آمین یک مولار، pH محیط واکنش را تنظیم کرد. ادامه بررسی ها نشان داد برای غلظت های کمتر از 10^{-1} ppm اورانیوم (VI)، واجذب کامل یون های اورانیوم از داخل حفره های سیلیکا، تنها با شویش سیلیکا با یک میلی لیتر اسید کلریدریک یک مولار انجام می گیرد. جدول های (۳) و (۴) نتایج به دست آمده از بررسی های فوق را نشان داده است.

استفاده از اسید کلریدریک برای واجذب یون های اورانیوم (VI) علاوه بر بهبود حد تشخیص تا 10^{-1} ppm، زمان تغییر رنگ را نیز برای نمونه های با غلظت کم به کمتر از ۳ دقیقه کاهش داد (جدول ۴). نتایج به دست آمده از آزمایش های حاصل از شویش سیلیکا پس از پیش تغليظ نمونه ها با اسید کلریدریک ۱ مولار از کارتريج تهیه شده (جدول ۴) نیز نشان داد که آشکارسازی اورانیوم (VI) تا غلظت 10^{-2} ppm قابل انجام است. با توجه به اینکه تابه حال فقط دو کار پژوهشی مشابه در زمینه رنگ سنگی چشمی اورانیوم انجام شده

رنگ به شدت افزایش می یافتد. یکی از عوامل احتمالی مؤثر بر کاهش زمان تغییر رنگ می تواند pH محیط تشکیل کمپلکس باشد. بر این اساس پس از افزودن Br-PADAP به سیلیکا حاوی اورانیوم (VI) ۱ ppm و سیلیکای شاهد، تغییر رنگ هر دو پودر در pH های ۷، ۸، ۹، ۱۱، ۱۲ مورد بررسی قرار گرفت. در pH=۷ مشاهده شد که زمان تغییر رنگ طولانی بود. در pH های ۱۱ و ۱۲، رنگ نمونه شاهد نیز باعث ایجاد تداخل می گردید. در pH های ۸ و ۹، تغییر رنگ مناسب به دست آمد. بنابراین pH های ۸ تا ۹ برای بررسی های بعدی مناسب هستند.

جدول ۲. نتایج حاصل از استخراج و آشکارسازی غلظت های مختلف اورانیوم (VI) توسط ۱۰ میلی گرم سیلیکای نانومتلخلخل

غلظت اورانیوم (ppm)	۵	۱۰	۱۰۰	تغییر رنگ سیلیکا
ارگانی	ارگانی	ارگانی	ارگانی	زمان تغییر رنگ
۲ دقیقه	۱ دقیقه	۵ ثانیه		غلظت اورانیوم (ppm)
(شاهد)	۰/۵	۱		تغییر رنگ سیلیکا
زرد	ارگانی	ارگانی		زمان تغییر رنگ
بالافصله	۹۰ دقیقه	۶۰ دقیقه		

حجم، نوع و غلظت بافر قلیایی: برای فراهم نمودن $pH=8$ محلول های مختلف از قبیل سود، بافر فسفات و بافر تری اتانول آمین (TEA) با غلظت های 10^{-1} ، 10^{-3} و 10^{-1} مولار و با حجم های $0/05$ ، $0/06$ ، $0/1$ و $0/3$ میلی لیتر مورد آزمایش قرار گرفت. استفاده از محلول های سود و بافر فسفات باعث بروز خطای مثبت در تغییر رنگ جاذب شد. اما بافر تری اتانول آمین یک مولار به عنوان بافر بهینه به دست آمد. حجم بهینه برای این بافر نیز برابر با حجم Br-PADAP به دست آمد.

حجم و غلظت معرف رنگزا: دو محلول با غلظت های 10^{-3} و 10^{-4} مولار از Br-PADAP تهیه شد و برای کمپلکس با غلظت های مختلف اورانیوم (VI) مورد بررسی قرار گرفت. محلول 10^{-3} مولار برای واکنش با اورانیوم (VI) محلول در آب مناسب تشخیص داده شد اما برای کمپلکس با یون های اورانیوم (VI) جذب شده در حفره های سیلیکا به ویژه در غلظت های کم اورانیوم (VI)، به دلیل عدم نفوذ در حفره ها و تجمع در سطح سیلیکا ایجاد رنگ قرمز و خطای مثبت می نمود. استفاده از Br-PADAP رقیق تر (10^{-4} مولار)، به دلیل نفوذ بهتر و سریع تر در حفره های سیلیکا، باعث تسریع در واکنش Br-PADAP شده و زمان تشکیل کمپلکس رنگی با یون های اورانیوم (VI) را به مقدار قابل ملاحظه ای کاهش داد. در مورد حجم محلول معرف مورد استفاده برای آشکارسازی یون اورانیوم (VI)، پس از آزمایش مقداری 25 ، 50 و 100 میکرولیتر مشخص شد حجم

برای آزمایش گزینش پذیری سیلیکا در استخراج و پیش تغییل اورانیوم (VI)، محلول‌های با غلظت ۵۰ ppm از کاتیون‌های فلزی آهن (II)، روی، نیکل، کبات، سرب، مس و کادمیوم به صورت جداگانه تهییه و در محیط با $pH=4$ در تماس با پودر سیلیکا قرار داده شدند. پس از خشک کردن پودرها و افزودن معروف رنگی به هر یک، جذب آن‌ها مورد بررسی قرار گرفت.

همان‌طور که در جدول (۶) مشاهده می‌شود به جز بون مس هیچ کدام از بون‌ها سبب تغییر رنگ ارغوانی پودر سیلیکای نانو متخلف عاملدار نشد و این موضوع نشان داد که در $pH=4$ ، بون‌های آهن (II)، روی (II)، سرب (II)، کادمیوم (II)، توریم (IV) و نیکل (II) با غلظت ۵۰ ppm جذب سیلیکا نشده و با بسیار جزئی جذب شده‌اند که در هر دو صورت مزاحمتی برای این روش ندارند و نانوسیلیکا از گزینش پذیری بسیار خوبی برخوردار است.

برای بررسی تأثیر آنیون‌ها، غلظت‌های ۵۰ ppm از بون‌ها استابات، سولفات، نیترات، فسفات و کلرید هنگام بررسی اثر کاتیون‌ها و pH به عنوان آنیون همراه، هنگام تغییر رنگ مورد آزمایش قرار گرفت که برای آشکارسازی اورانیوم (VI) به روش رنگ سنجی مزاحمتی نداشتند.

جدول ۶. اثر کاتیون‌های فلزی مزاحم با غلظت مشخص بر جذب اورانیوم (VI) توسط سیلیکا

Fe^{+2} (۵·ppm)	Zn^{+2} (۵·ppm)	Pb^{+2} (۵·ppm)	یون مزاحم
			تغییر رنگ سیلیکا
زرد	نارنجی	زرد	
Cd^{+2} (۵·ppm)	Th^{+4} (۵·ppm)	Cu^{+2} (۵·ppm)	یون مزاحم
			تغییر رنگ سیلیکا
نارنجی	زرد	ارگوانی	

۵. کاربرد تجزیه‌ای

کاربرد این روش برای پایش و آشکارسازی چشمی اورانیوم در چند نمونه آب مختلف مطابق با روش پیشنهادی مورد بررسی قرار گرفت. نتایج در جدول (۷) ارائه شده است. همان‌گونه که مشاهده می‌شود نمونه‌های مربوط به محلول خالص هریک از آب‌ها (شاهد)، زرد رنگ شده و پودرهای مربوط به نمونه‌های حاوی اورانیوم (VI) بلاfaciale به رنگ ارغوانی درآمدند. این نتایج نشان داد که سیلیکای نانو متخلف با گرینش پذیری بسیار خوب توانایی جداسازی و پیش تغییل یون اورانیوم (VI) در نمونه‌های حقیقی مختلف از آب‌های محیطی را دارد.

است. (جدول ۵) این مقدار بهترین مقداری است که تاکنون توسط روش‌های آشکارسازی چشمی گزارش شده است.

جدول ۳. کمپلکس رنگی غلظت‌های مختلف اورانیوم (VI) جذب شده توسط سیلیکاپس از اخذب آن توسط اسید کلریدریک، در زمان کمتر از ۳ دقیقه

غلظت اورانیوم (ppm)	۰/۲	۰/۳	۰/۴	۰/۵
تغییر رنگ سیلیکا				
(شاهد)	ارگوانی	ارگوانی	ارگوانی	
۰/۰۹			۰/۱	غلظت اورانیوم (ppm)
۰/۱				تغییر رنگ سیلیکا
	غلیبه	ارگوانی	ارگوانی	

جدول ۴. کمپلکس رنگی غلظت‌های مختلف اورانیوم (VI) جذب شده توسط سیلیکاپس از شویش آن‌ها به وسیله اسید کلریدریک

غلظت اورانیوم (ppm)	۰/۰۸	۰/۱	۰/۵	۰/۵
تغییر رنگ سیلیکا				
(شاهد)	ارگوانی	ارگوانی	بنفش	
۰/۰۲			۰/۰۵	غلظت اورانیوم (ppm)
۰/۰۵				تغییر رنگ سیلیکا
	زرد	ارگوانی	ارگوانی	

جدول ۵. روش‌های اندازه‌گیری چشمی اورانیوم در نمونه‌های آبی به روش رنگ‌سنجی با معرف برم پاداب

سال	مراحل کار	تعداد	حد تشخیص (ppb)	روش پیش‌تغییل و گزینش پذیری	زمان	توسعه رنگ
۲۰۰۸	۷	۲۵	۲۵	استخراج کروماتوگرافی با استفاده از U/TEVA-2	۲ ساعت	استخراج کروماتوگرافی با استفاده از U/TEVA-2
۲۰۱۳	۷	۳۰	۳۰	استخراج کروماتوگرافی با استفاده از U/TEVA-2	۲ ساعت	رنzin-2
۲۰۱۴	۴	۲۰	۲۰	اسخراج فاصله‌دار با استفاده از سیلیکای NH ₂ -MCM-41	۵ دقیقه	کار حاضر

بررسی یون‌های مزاحم: با توجه به اینکه در $pH=8$ ، بون‌های سدیم، مولیبدن، کلسیم، لیتیم، منیزیم، روبيدیم، تاتالیم، سزیم، پتاسیم، بور، سریم، باریم، آلومینیم، نقره، تنگستن، لاتانیم، گadolینیم و کروم با Br-PADAP تشکیل کمپلکس نمی‌دهند [۱۰] در شناسایی اورانیوم (VI) تداخل نداشته و ایجاد مزاحمت نمی‌کنند. بنابراین فقط اثر تداخلی یون‌های روی، کادمیم، آهن (II)، نیکل، سرب و مس در آشکارسازی اورانیوم (VI) مورد بررسی قرار گرفت.

- [2] Bleise, A.; Danesi, P. R.; Burkart, W. "Properties, Use and Health Effects of Depleted Uranium (DU): A General Overview"; *J. Environ. Radioactiv.* 2003, 64, 93-112.
- [3] Curkovic, M.; Sipos, L.; Puntaric, D.; Curkovic, K.; Pivac, P.; Kralik, K. "Detection Of Thallium and Uranium in Well Water and Biological Specimens of an Eastern Croatian Population"; *Bulletin of Faculty of Pharmacy, Cairo Univ.* 2013, 64, 385-394.
- [4] Rani, A.; Singh, S.; Duggal, V.; Balaram, V. "Uranium Estimation in Drinking Water Samples from Some Areas of Punjab and Himachal Pradesh, India Using ICP-MS"; *Radiat. Prot. Dosimetry* 2013, 157, 146-151.
- [5] Ticianelli, B.; Graciano, A. M.; Figueiredo, G. S.; Kinoshita, A.; Baffa, O. "Determination Of Uranium and Thorium by Neutron Activation Analysis Applied to Fossil Samples Dating"; In proc. of Int. Nuclear Atlantic Conf. 2011, 24-28.
- [6] Olise, F. S.; Oladejo, O. F.; Almeida, S. M.; Owoade, O. K.; Olaniyi, H. B.; Freitas, M. C. "Instrumental Neutron Activation Analyses of Uranium and Thorium in Samples from Tin Mining and Processing Sites"; *J. Geochem. Explor.* (In Press) 2014, 142, 36-42.
- [7] Luna Porres, M.; Manjon Collado, G.; Diaz, I.; Renteria, M.; Montero Cabrera, M. E. "Determination of Uranium and Polonium in Sparusaurata by Alpha Spectrometry"; *Revista Mexicana de Fisica* 2012, 58, 224-227.
- [8] Saleh Al-Jobouri, A. F. "Determination of Uranium Concentration in Human Urine for Selected Regions in Iraq Using Laser-Induced Kinetic Phosphorimetry and CR-39 Nuclear Track Detector"; Ph.D. Thesis, College of Sci. Al-Nahrain Univ. 2012.
- [9] Miley, S.; Hylden, A.; Friese, J. "Resolution of Uranium Isotopes with Kinetic Phosphorescence Analysis"; *J. Radioanal. Nucl. Chem.* 2013, 296, 923-925.
- [10] Kalinich, J. F.; McClain, D. E. "Development of a Colorimetric Test for Uranium"; NATO RTG-099 2005.
- [11] Hixon, E.; DiPrete, D.; DeVol, T. A. "Development of A Colorimetric Test for Quantification of Uranium in Drinking Water"; *J. Radioanal. Nucl. Chem.* 2013, 298, 419-427.
- [12] Hill, J.; Robert J. "Colorimetric Detection of Uranium in Water"; US Patent 8,133,740, 2012.
- [13] Ratliff, A. E. "Development of A Colorimetric Test for Quantification of Uranium in Drinking Water"; M.S. Thesis, Clemson Univ. 2008.
- [14] Sadeghi, S.; Doosti, Sh.; "Uranyl Ion-Selective Optical Test Strip"; *Dyes Pigments*, 2009, 80, 125-129.
- [15] Tuzen, M.; Melek, E.; Soylak, M.; Clay, C. "Sorbent for Separation-Preconcentration of Metal Ions from Environmental Samples"; *J. Hazard. Mater.* 2006, 136, 597-603
- [16] Hosseini-Bandegharaei, A.; Sarwghadi, M.; Heydarbeigi, A.; Hosseini, S. H.; Nedaie, M. "Solid-Phase Extraction of Trace Amounts of Uranium(VI) in Environmental Water Samples Using an Extractant-Impregnated Resin Followed by Detection with UV-Vis Spectrophotometry"; *J. Chem.*, 2013, 2013, 1-10.
- [17] Sadeghi, S.; Sheikh Zadeh E. "Solid Phase Extraction Using Silica Gel Functionalized with Sulfasalazine for Preconcentration of Uranium(VI) Ions from Water Samples"; *Microchim. Acta* 2008, 163, 313-320.
- [18] AL-Othman, A. "A Review: Fundamental Aspects of Silicate Mesoporous Materials"; *Materials* 2012, 5, 2874-2902.
- [19] Yuan, L.; Liu, Y.; Shi, W.; LiZ, J.; HuiLan, J.; Feng, Y.; Liang Zhao, Y.; Yuan, Y. L.; Chai, Z. F. "A Novel Mesoporous Material for Uranium Extraction, Dihydroimidazole-Functionalized SBA-15"; *J. Mater. Chem.* 2012, 22, 17019-17026.

جدول ۷. تغییر رنگ سیلیکا در حضور و عدم حضور اورانیوم در نمونه های آب شهر، آب چاه و آب دریا

نمونه آب	مقدار اورانیل اضافه شده	نتیجه
آب شهر	۱۰۰ ppm	ارغوانی
	صفرا	زرد
آب چاه	۱۰۰ ppm	ارغوانی
	صفرا	زرد
آب دریا	۱۰۰ ppm	ارغوانی
	صفرا	زرد

۴. نتیجه گیری

برای پایش و آشکارسازی مقدار بسیار کم و پراکنده اورانیوم و اورانیوم ضعیف شده، استفاده از روش های دزیمتری پرتوی به دلیل پرتوهای بسیار ضعیف آلفا، امکان پذیر نبوده و نیاز به روش های وقت گیر و پرهزینه آزمایشگاهی می باشد. نتایج به دست آمده در این تحقیق نشان داد، پیش تفليظ و جداسازی با استفاده از سیلیکای ناتوم تخلخل عامل دار شده با آمین و همراه شدن آن با معرف رنگ زای Br-PADAP می تواند به عنوان یک روش مؤثر و کارامد برای آشکارسازی مقدار بسیار کم اورانیوم (VI) در محلول های آبی به کار برده شود. انجام آزمایش ها در زمان ها و دفعات متعدد نشان داد روش از تکرار پذیری بسیار خوبی در همه محدوده های غلطی برخوردار است. حد تشخیص چشمی برای آشکارسازی اورانیوم برای روش های واجذب و شوپیش به ترتیب 0.1 ppm و 0.2 ppm به دست آمد. کل آزمایش بسته به روش انجام گرفته بین ۷ تا ۱۲ دقیقه زمان نیاز دارد. یکپارچه نمودن دو بخش استخراج و شناسایی در قالب یک تیوب یا نوار آزمون در داخل یک کیت دستی و بدون نیاز به هیچ دستگاه الکترونیکی و آزمایشگاهی، می تواند به عنوان راهکاری برای توسعه یک آشکارساز ساده و ارزان و در عین حال سریع و دقیق برای کاربردهای میدانی در نظر گرفته شود.

۵. مراجع

- [1] Fairlie, I. "Depleted Uranium: Properties, Military Use and Health Risks"; *Medicine, Conflict and Survival* 2009, 25, 41-64.

- [23] Ephraim, V.; Naftali, N.; Kalala, J.; Ajay, K.; Reinout, M. "Thermal Stability of Amine-Functionalized MCM-41 in Different Atmospheres"; *J. Therm. Anal. Calorim.* 2014, 115, 1487-1496
- [24] Luigi, P.; Flaviano, T.; Rosario, A.; Sante, C.; Janos, B. N. "Preparation of Bifunctional Hybrid Mesoporous Silica Potentially Useful for Drug Targeting"; *J. Microporous Mesoporous Mater.* 2007, 103, 166-73.
- [25] Parida, K. M.; Dharitri, R. "Amine Functionalized MCM-41: An Active and Reusable Catalyst for Knoevenagel Condensation Reaction"; *J. Mol. Catal. A Chem.* 2009, 310, 93-100.
- [20] Najafi, M.; Hosseini Dehmusa, J. "Design of a Portable System for Spectrophotometric Determination of Uranium in Water"; *J. Passive Defence Sci. and Tech.* 2011, 2, 11-18 (In Persian).
- [21] Kumar, D. K.; Schumacher; H. C.; Grun, M.; Unger, K. K. "MCM-41, MCM-48 and Related Mesoporous Adsorbents: Their Synthesis and Characterisation"; *Colloid Surface* 2001, 109, 187-195.
- [22] Johnson, J. S.; Stein, A. "Surface Modification of Mesoporous, Macroporous, and Amorphous Silica with Catalytically Active Polyoxometalate Clusters"; *Inorg. Chem.* 2001, 40, 801-808.